

УДК 577.3

В.Л.Зима, О.М.Дячок, В.В.Ганчурін

Модифікація методики дослідження вільного внутрішньоклітинного кальцію

Описан микроспектрофлуориметр, который позволяет регистрировать транзистентные Ca^{2+} -сигналы в одно- и двухлучевом режимах, а также измерять спектры флуоресценции (возбуждения) зондов в разных клетках и мышечных тканях, когда исследуется их связывание с ионами кальция, с белками цитоплазмы или изучается изменение pH клетки. На этой установке одновременно с записью флуоресцентного сигнала с помощью тензометрической установки регистрируется изометрическое сокращение мышечных полосок.

Вступ

Іони кальцію є найбільш важливими вторинними посередниками, які несуть інформацію від збудливої клітинної мембрани до різних внутрішньоклітинних структур, активуючи численні клітинні функції: рухомість, секрецію, синтетичні процеси тощо [1, 3, 11]. Застосування Ca^{2+} -чутливих флуоресцентних зондів (фура-2, індо-1, флуо-3) [6, 8], pH-чутливих зондів [7] здійснило революційний прорив у методичних можливостях при вимірюванні внутрішньоклітинних $[\text{Ca}^{2+}]_i$ і $[\text{H}^+]_i$, в контролюванні їх змін під час клітинної активності. Традиційні установки для реєстрації Ca^{2+} -транзієнтів у нервових і м'язових клітинах вимірюють двохвильовий флуоресцентний параметр R — відношення інтенсивностей флуоресценції на двох довжинах хвиль (λ_1/λ_2), які виділяються світлофільтрами [2, 5, 6, 9]. Але в спектральному відношенні Ca^{2+} -сигнал більш складний, тому що крім зв'язування флуоресцентних зондів з іонами кальцію ці зонди можуть зв'язуватися з білками цитоплазми, і можуть змінювати свої спектральні характеристики при зміні pH клітини [4, 7, 9, 10, 12]. Це вимагає конструктування більш універсальних установок, на яких можна вимірювати крім інтенсивності флуоресценції на певній довжині хвилі ще й спектральні характеристики кальцієвих індикаторів.

У нашій роботі описана установка, яка дозволяє фіксувати транзієнтні Ca^{2+} -сигнали в одно- та двопроменевому режимах, а також реєструвати спектри флуоресценції зондів у різних клітинах і тканинах. На цій установці, одночасно із записом флуоресцентного сигналу, реєструється за допомогою тензометричного пристрою ізометричне скорочення тонких м'язових смужок.

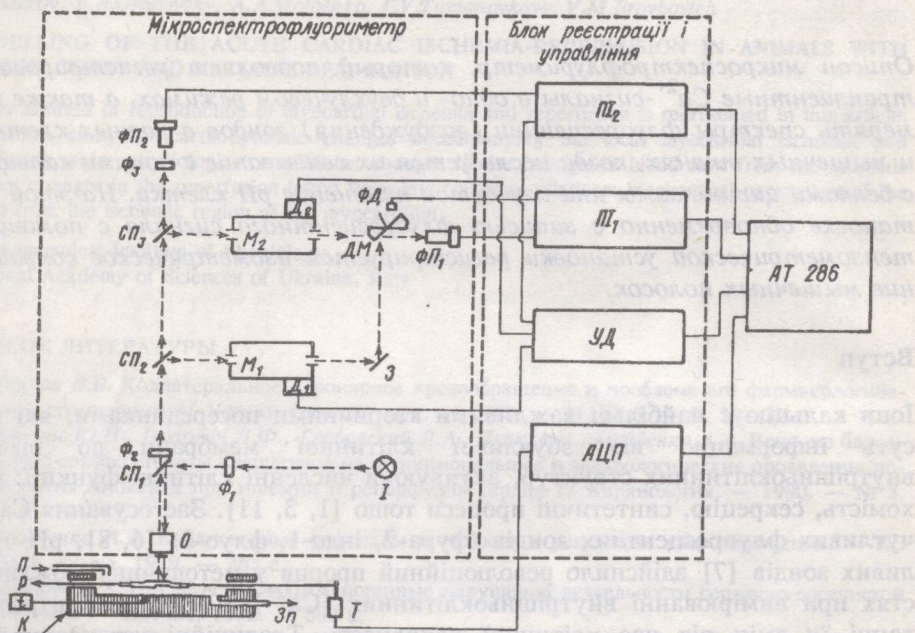
Методика

Оптична частина. Установку змонтовано на базі мікроспектрофлуориметра МФТХ-2М фірми «ЛОМО» (Росія), блок-схему якої представлено на мал. 1. Оптична частина включає мікроскоп (об'єктив O, світlorоздільні пластини СП₁, СП₂ і СП₃) і монохроматори M₁ і M₂. Розкладання світла в спектр відбувається при повертанні дифракційних граток за допомогою ходових двигунів D₁ і D₂, робота яких управляється спеціальним блоком УД.

© В.Л.ЗИМА, О.М.ДЯЧОК, В.В.ГАНЧУРІН, 1995

ПАТОФІЗІОЛОГІЯ

Флуоресценція зондів збуджується від джерела світла 1. Використовуються ртутна лампа ДРШ-250-2 або ксенонова лампа ДКсШ-150, які живляться від стабілізованого джерела струму. Світло флуоресценції реєструється фотопомножувачами ΦP_1 і ΦP_2 (фотопомножувачі ФЕУ-106). Установка може працювати в одно- і двопроменевому режимах.



Мал. 1. Блок-схема установки: I — джерело світла (ртутна або ксенонова лампа); O — об'єктив мікроскопа; Φ_1 , Φ_2 і Φ_3 — світлофільтри; $СП_1$, $СП_2$ і $СП_3$ — світlorоздільні пластини; M_1 і M_2 — монохроматори; D_1 і D_2 — ходові двигуни; ΦP_1 і ΦP_2 — фотопомножувачі; DM — диск модуляторний; $ФД$ — фотодіод; $З$ — відбивне дзеркало; $П_1$ і $П_2$ — блоки підрахунку фотоп脉льсьв; $УД$ — блок управління ходовими двигунами; K — камера з м'язовою смужкою; P — подавання в камеру розчинів; $Зл$ — зливання розчинів; T — механотрон 6МХ1С; t — вимірювання температури терморезистором; R — зовнішній натяг; $AT 286$ — персональна електронно-обчислювальна машина; Φ_2 — запираючий світлофільтр.

В однопроменевому режимі вимірювали такі флуоресцентні характеристики:

1. Вимірювання інтегральної інтенсивності флуоресценції. У цьому режимі роботи використовували скрещені світлофільтри: Φ_1 , який пропускає збуджуюче світло від джерела 1 і Φ_3 , який пропускає флуоресценцію, але не пропускає збуджуюче світло. Реєстрацію флуоресценції провадили фотопомножувачем ΦP_2 , для чого в хід світлових променів вводили світlorоздільні пластинки $СП_1$ і не використовували $СП_2$ і $СП_3$.

2. Вимірювання спектрів збудження флуоресценції. Для цього на місці фотопомножувача ΦP_1 розміщували ксенонову лампу 1, світло від якої проходило через монохроматор M_2 і за допомогою $СП_3$ і об'єктива O падало на біологічний об'єкт. Світlorоздільні пластинки $СП_1$ і $СП_2$ не використовували. Флуоресценцію від об'єкту збиралі тим же об'єктивом, і вона проходила через $СП_3$ і світлофільтр Φ_3 , а потім реєстрували фотопомножувачем ΦP_2 . Автоматичний запис спектру збудження флуоресценції відбувається завдяки включенням ходового двигуна D_2 .

3. Вимірювання спектрів флуоресценції. У цьому режимі застосовували свіtlorоздільні пластинки $СП_1$ і $СП_3$. Збуджуюче світло від джерела 1 проходило через світлофільтр Φ_1 і викликало флуоресценцію, яка потім про-

ходила через монохроматор M_2 і реєстрували її фотопомножувачем Φ_{P1} . При цьому із світлового пучка виводили лопаті модуляторного диску ДМ.

У двопроменевому режимі використовували два методи реєстрації.

1. У першому способі в світловий пучок вводили $C\pi_1$, $C\pi_2$, $C\pi_3$ і дзеркальний модулятор ДМ. Флуоресценція збуджувалася від джерела світла 1 через фільтр Φ_1 . Флуоресцентне випромінювання $I\lambda_1$ і $I\lambda_2$, яке виділялося двома монохроматорами M_1 і M_2 відповідно вибраним λ_1 і λ_2 , почерзі направлялося за допомогою модуляторного диску ДМ на фотопомножувач Φ_{P1} і вимірювали двохвильовий флуоресцентний параметр R .

Аналіз провадили за спектром флуоресценції. Цей метод краще застосовувати для індо-1.

2. У другому способі реєстрації на місці Φ_{P1} розміщували ксенонову лампу 1, а в світловий пучок вводили ДМ, $C\pi_2$ і $C\pi_3$, а $C\pi_1$ виводили. Використовували монохроматори M_1 і M_2 , якими виділяли в спектрі збудження λ_1 і λ_2 . Збуджуюче світло проходило через об'єктив О на біологічний об'єкт, а флуоресценцію від об'єкту реєстрували через Φ_3 фотопомножувачем Φ_{P2} . Цим методом вимірювали двохвильовий параметр R . Цю реєстрацію краще використовувати для фура-2.

Монохроматичність світла $I\lambda_1$ і $I\lambda_2$ — $\Delta\lambda$ — становить 10 нм. Модуляторний диск повертається з частотою 150 Гц, і це дозволяє фіксувати параметр R для достатньо швидких процесів (перший вимір отримували через 6,6 мс).

Використання кварцевих об'єктивів 58x0,8 (водяна імерсія) і 10x0,2 (повітря) дозволяє без значних втрат збуджувати флуоресценцію біологічних об'єктів. Для підвищення чутливості установки і зменшення шумів фотопомножувачі працюють у квантоворітальному режимі. Фотоімпульси від фотопомножувачів записували пристроями підрахунку імпульсів P_1 і P_2 , які являють собою інтерфейсні плати для IBM-сумісної персональної електронно-обчислювальної машини (ПЕОМ) AT 286.

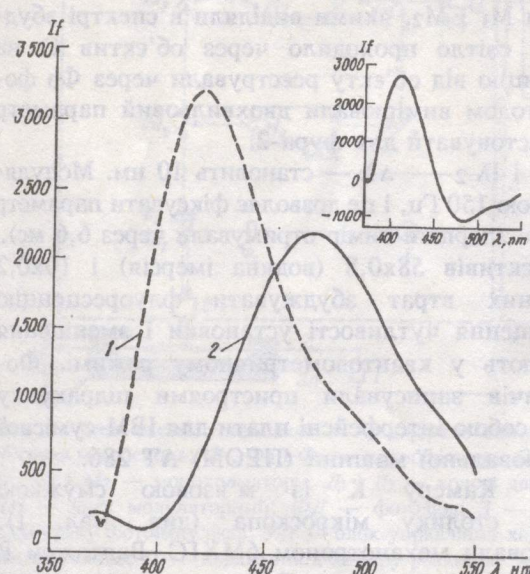
Тензометричний пристрій. Камеру К із м'язовою смужкою розміщували на предметному столику мікроскопа (див. мал. 1). Ізометричне напруження вимірювали механотроном 6МХ1С. Вантажем Р задавали початковий натяг м'язової смужки. Температуру в камері вимірювали терморезистором. Введення в ПЕОМ аналогових сигналів, які реєстрували в досліді (тензометричну силу, температуру), здійснювали завдяки аналогово-цифровому перетворювачу (АЦП). Синхронізацію роботи пристрій для підрахунку фотоімпульсів, ходових двигунів і АЦП провадили комутуючими сигналами частотою 150 Гц від фотодіоду ФД. Розроблене програмне забезпечення дозволяє вимірювати і відображати оптичні та тензометричні сигнали для будь-якого з режимів роботи установки. Отриману інформацію записували та зберігали в ASCII кодах і опрацьовували з використанням комерційного програмного забезпечення.

Результати

З метою вивчення спектральних характеристик флуоресцентних зондів при різних концентраціях іонів кальцію або при зміні параметрів середовища здійснено модельні дослідження з індо-1. На мал. 2 наведено спектри флуоресценції індо-1 в однопроменевому режимі, які реєструвалися в розчині з pH 8,0. Це зумовлено тим, що при pH менше ніж 7,5 існує протонова форма індо-1, яка має інші спектральні характеристики, ніж кальцій-вільна форма [4]. Різницевий спектр флуоресценції індо-1 (див. вставку на мал. 2), який отримували відніманням спектру 2 від спектру 1, дозволив нам

вибрati довжину хвилі 410 нм, на якій спостерігаються максимальні зміни інтенсивності флуоресценції індо-1 при зміні концентрації вільного кальцію у випадку однохвильової реєстрації.

При двопроменевій реєстрації Ca^{2+} -сигналу, коли вводяться світlorоздільні пластиинки СР₂ («блакитна» — відбиває збуджуючий світловий потік з довжиною хвилі меншою ніж 370 нм та пропускає флуоресценцію більше ніж 370 нм) і СР₃ («зелена» — відбиває випромінювання менше як 430 нм у монохроматор M₁ і пропускає випромінювання більше, ніж 430), спектри флуоресценції індо-1, які наведено на мал. 2, значно трансформуються завдяки спектральним властивостям цих пластиинок. Це вимагає коректного вибору λ_1 і λ_2 на монохроматорах M₁ і M₂. Аналіз трансформації спектрів дозволив нам вибирати такі довжини хвиль: λ_1 — 405 нм і λ_2 — 500 нм.



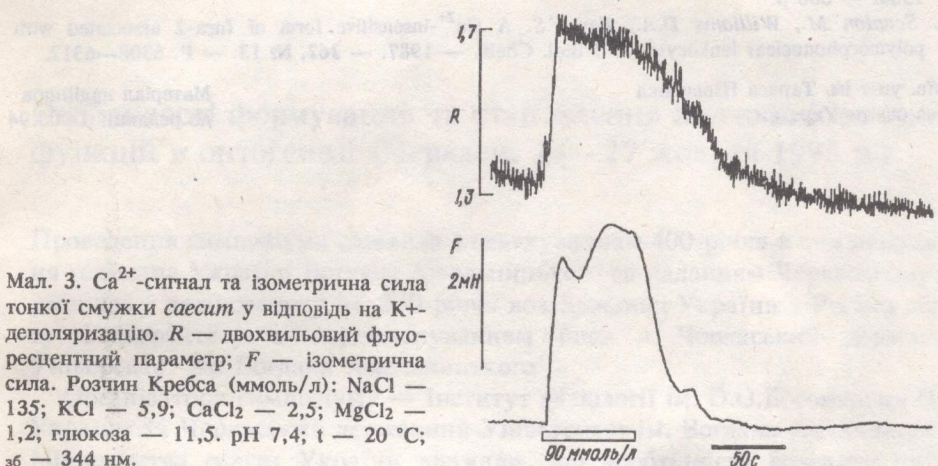
Мал. 2. Спектри флуоресценції індо-1: 1 — в присутності Ca^{2+} , 2 ммоль/л; 2 — у відсутності Ca^{2+} , 2 ммоль/л EGTA. I_f — інтенсивність флуоресценції у відносних одиницях; $\lambda_{\text{аб}}$ 344 нм; pH 8,0; t — 20 °C. Вставка: різницевий спектр флуоресценції індо-1 між спектром 1 і спектром 2, ΔI_f — різницева інтенсивність флуоресценції.

Досліди проведено на тонких гладеньком'язових смужках *саесим* морської свинки (довжина 3 мм, ширина 1 мм і товщина 200 мкм). Навантаження м'язових смужок флуоресцентним зондом індо-1/AM (5 мкмоль/л) провадили при 36 °C протягом 1 год у розчині Кребса з додаванням Pluronics F-127 (0,05 %). Потім м'язові смужки тричі відмивали свіжим розчином Кребса від індо-1/AM, який не проник у клітини. Смужки закріплювали в камері K об'ємом 350 мкл. Один кінець м'язової смужки приєднувався до стержня механотрону, а до другого кінця приєднувався вантаж Р для створення початкового натягу м'язу. Попередньо про-калібраний механотрон вимірював розвиток ізометричної сили в ньютонах (Н).

Збудження флуоресценції індо-1 здійснювали через фільтр Φ_1 з λ 344 нм. Реєстрацію Ca^{2+} -сигналу проведено в двохвильовому режимі. На мал. 3 представлено транзієнтний Ca^{2+} -сигнал та ізометричну силу м'язової смужки *саесим* у відповідь на K+-деполяризацію. Слід зазначити, що Ca^{2+} -сигнал випереджає ізометричну силу на 1 с і має складну форму: відразу спостерігається швидке підвищення концентрації вільного кальцію $[\text{Ca}^{2+}]_i$, якому відповідає фазне скорочення *саесим*. Після повільного спаду Ca^{2+} -сигналу спостерігається фаза невеликого повторного нарощання $[\text{Ca}^{2+}]_i$, якому відповідає тривале тонічне скорочення смужки *саесим*.

Проведено калібрування флуоресценції індо-1 *in vivo* для гладенько-м'язових смужок після додавання 50 мкмоль/л дігітоніну або 50 мкмоль/л іономіцину і отримано R_{max} , яке становило $2,4 \pm 0,4$ (n=6), у без-

кальцієвому розчині (після додавання 10 ммоль EGTA) R_{\min} становило $1,22 \pm 0,11$ ($n=6$); $\beta = 1,25 \pm 0,10$ ($n=6$). Концентрація вільного кальцію в м'язових клітинах визначається, як описано в праці Gryniewicz та співавт. [6].



Мал. 3. Ca^{2+} -сигнал та ізометрична сила тонкої смужки *саесим* у відповідь на К+-деполяризацію. R — двохвильовий флуоресцентний параметр; F — ізометрична сила. Розчин Кребса (ммоль/л): $\text{NaCl} = 135$; $\text{KCl} = 5,9$; $\text{CaCl}_2 = 2,5$; $\text{MgCl}_2 = 1,2$; глюкоза — 11,5. $\text{pH} = 7,4$; $t = 20^\circ\text{C}$; $\lambda_6 = 344 \text{ нм}$.

Отримані результати свідчать, що сконструйована установка дозволяє в динаміці реєструвати Ca^{2+} -сигнал від тканин. Крім того, на ній можна вимірювати спектральні характеристики флуоресцентних зондів, коли вивчається їх зв'язування з білками цитоплазми або вивчається зміна pH.

V.L.Zima, O.M.Dyachok, V.V.Ganchurin

MODIFICATION OF THE METHODS FOR INVESTIGATION OF INTRACELLULAR FREE CALCIUM

A microspectrofluorimeter which permits recording excitation and emission spectra of fluorescent dyes (fura-2, indo-1) and measuring Ca^{2+} -transients in different cells and smooth muscle strips is described. One-beam and two-beam approaches of recording of spectral characteristic of fluorescent dyes are presented.

Taras Shevchenko University,
Ministry of Education of Ukraine, Kiev

СПИСОК ЛІТЕРАТУРИ

1. Костюк П.Г. Кальций и его клеточная возбудимость. — М.: Наука, 1986. — 255 с.
2. Орлов С.Н., Лабас Ю.А. Концентрация свободного кальция в цитоплазме: методы регистрации, достижения и артефакты // Биол. мембрани. — 1989. — 6, № 9. — С. 901—938.
3. Шуба М.Ф. Синаптическая передача в м'язах і механізм дії медіаторів // Вісн. АН УРСР. — 1977. — № 12. — С. 44—56.
4. Bancel F., Salmon J.-M., Vigo J., Viollet P. Microspectrofluorometry as a tool for investigation of non-calcium interactions of indo-1 // Cell Calcium. — 1992. — 13, № 1. — P. 59—68.
5. Cobbold P.H., Rink T.J. Fluorescence and bioluminescence measurement of cytoplasmic free calcium // Biochem. J. — 1987. — 248, № 2. — P. 313—328.
6. Gryniewicz G., Poenie M., Tsien R.Y. A new generation of Ca^{2+} indicators with greatly improved fluorescence properties // J.Biol. Chem. — 1985. — 260, № 6. — P. 3440—3450.
7. Lattanzio F. The effects of pH and temperature on fluorescent calcium indicators as determined with chelex-100 and EDTA buffer system // Biochem. and Biophys. Res. Communs. — 1990. — 171, № 1. — P. 102—108.
8. Minta A., Kao J.P.Y., Tsien R.Y. Fluorescent indicators for cytosolic calcium based on rhodamine and fluorescein chromophores // J.Biol.Chem. — 1989. — 264, № 14. — P. 8171—8178.

ПАТОФІЗІОЛОГІЯ

9. Moore E.D.W., Becker P.L., Fogarty K.E., Williams D.A., Fay F.S. Ca^{2+} imaging in single living cells: Theoretical and practical issues // Cell Calcium. — 1990. — 11, № 1. — P. 157—179.
10. Owen C.S., Sykes N.L., Shuler P.L., Ost D. Non-calcium environmental sensitivity of intracellular indo-1 // Anal. Biochem. — 1991. — 192, № 1. — P. 142—148.
11. Ruegg J.C. Calcium in muscle activation: A comparative approach. — Berlin: Springer-Verlag, 1989. — 300 p.
12. Scanlon M., Williams D.A., Fay F.S. A Ca^{2+} -insensitive form of fura-2 associated with polymorphonuclear leukocytes // J.Biol. Chem. — 1987. — 262, № 13. — P. 6308—6312.

Київ. ун-т ім. Тараса Шевченка
М-ва освіти України

Матеріал надійшов
до редакції 14.03.94